Singularités génériques et quasi-résolutions des variétés de Schubert pour le groupe linéaire

Aurélie Cortez

Abstract

We describe explicitly the irreducible components of the singular locus of any Schubert variety for $GL_n(\mathbb{K})$, \mathbb{K} being an algebraically closed field of arbitrary characteristic. We also describe the generic singularities along these components.

The case of covexillary Schubert varieties was solved in an earlier work of the author [Ann. Inst. Fourier 51 2 (2001), 375-393]. Here, we first exhibit some irreducible components of the singular locus of X_w , by describing the generic singularity along each of them. Let Σ_w be the union of these components. As mentionned above, the equality $\Sigma_w = \operatorname{Sing} X_w$ is known for covexillary varieties, and we base our proof of the general case on this result. More precisely, we build so-called quasi-resolutions of non-covexillary Schubert varieties, and we compute their exceptional locus. Then, by induction on the dimension, we can state the equality.

1 Introduction

On se place sur un corps algébriquement clos \mathbb{K} , de caractéristique quelconque. L'objet de ce travail, qui constitue à la suite de [3] la seconde partie de ma thèse, est de décrire explicitement les composantes irréductibles du lieu singulier d'une variété de Schubert arbitraire pour $GL_n(\mathbb{K})$, ainsi que la singularité le long de chacune d'entre elles.

* Classification Math.: 14M15, 20F55.

 $^*Date : 15 \text{ juin } 2001$

Les variétés de Schubert pour le groupe linéaire sont paramétrées par le groupe symétrique d'ordre n, noté \mathfrak{S}_n . D'après [7], la variété de Schubert X_w associée à la permutation w de \mathfrak{S}_n est singulière si et seulement s'il existe des entiers a < b < c < d dans [1,n] vérifiant : w(d) < w(b) < w(c) < w(a) ou bien w(c) < w(d) < w(a) < w(b). On démontre que les composantes irréductibles du lieu singulier de X_w sont associées à celles de ces configurations qui sont minimales en un certain sens, et que les singularités génériques sont de deux types, conformes aux modèles déjà connus (cf [2]); cependant, il est à noter que les dichotomies des configurations d'une part et des types de singularité d'autre part, ne se correspondent pas exactement.

Une première étape vers ce résultat a été de traiter le cas des variétés covexillaires. Ceci a été accompli à l'automne 1999, et j'ai exposé mes résultats en novembre 1999 à Luminy, puis en avril 2000 à Grenoble, avant la parution de [3] en avril 2001. La description des composantes irréductibles du lieu singulier dans le cas général a récemment été obtenue, de manière quasisimultanée, par L. Manivel ([11]) d'une part, S. Billey et G. Warrington ([1]) d'autre part, et enfin C. Kassel, A. Lascoux et C. Reutenauer ([5]), par une méthode combinatoire, en utilisant la description de l'espace tangent donnée par V. Lakshmibai et C. S. Seshadri dans [8]. On présente ici une approche géométrique de la situation. On exhibe dans un premier temps des composantes irréductibles du lieu singulier, en décrivant la singularité générique le long de chacune d'elles. Notons Σ_w la réunion de ces composantes. D'après [3], on a $\Sigma_w = \operatorname{Sing}(X_w)$ dans le cas covexillaire, et l'on va s'appuyer sur ce cas pour démontrer l'égalité en général. Plus précisément, on construit des "quasi-résolutions" des variétés de Schubert non covexillaires, et l'on en détermine le lieu exceptionnel. On peut alors obtenir l'égalité cherchée par récurrence sur la dimension de X_w .

Je tiens à remercier mon directeur de thèse, P. Polo, pour le soutien constant qu'il m'a apporté durant l'élaboration de ce travail.

Alors que la rédaction de cette annonce était en cours, L. Manivel a également obtenu la description des singularités génériques ([12]).

2 Notations

 \mathbb{K} est un corps algébriquement clos de caractéristique arbitraire, $G = GL_n(\mathbb{K})$, B est le sous-groupe de Borel des matrices triangulaires supérieures, U (resp. U^-) est le groupe des matrices triangulaires supérieures (resp. in-

férieures) unipotentes, T est le tore maximal des matrices diagonales dans G.

Pour $w \in \mathfrak{S}_n$, on note e_w le point wB de G/B, $C_w = Be_w$ la cellule de Schubert, et $X_w = \overline{C_w}$ la variété de Schubert associés. On note $\ell(w)$ le nombre d'inversions de w; on rappelle que l'on a $\ell(w) = \dim X_w$. On désigne par Γ_w le graphe de w.

On note $\mathbb{K}^{\bullet} = \mathbb{K}^1 \subset \cdots \subset \mathbb{K}^n$ le drapeau standard dans G/B, correspondant au sous-groupe de Borel B. Pour $g \in G$, on note $g\mathbb{K}^{\bullet}$ le drapeau associé.

Si i et j sont deux entiers distincts de [1, n], on note (i, j) la transposition de support $\{i, j\}$, et pour $i \le n-1$, on note s_i la transposition simple (i, i+1).

3 Préliminaires

3.1 Singularités génériques

L'inclusion des variétés de Schubert induit l'ordre de Bruhat-Chevalley sur le groupe symétrique : pour $v, w \in \mathfrak{S}_n$, $v \leq w \iff X_v \subseteq X_w$. Les composantes irréductibles du lieu singulier de la variété de Schubert X_w sont données par les permutations maximales v telles que le point e_v soit un point singulier de X_w .

Etant donné $v \leq w$, l'ensemble $v(U^-)e_v \cap X_w$ est le voisinage standard de e_v dans X_w . D'après la décomposition de Bruhat, il est isomorphe au produit $C_v \times \mathcal{N}_{v,w}$ où $\mathcal{N}_{v,w} = [v(U^-) \cap U^-]e_v \cap X_w$ (cf [6], Lemma A4). On appelle $\mathcal{N}_{v,w}$ la transversale à C_v dans X_w . La cellule de Schubert C_v étant un espace affine, on a en fait : X_v est une composante irréductible du lieu singulier de X_w si et seulement si $\mathcal{N}_{v,w}$ a e_v pour unique point singulier. Ce sont les singularités génériques que l'on va décrire.

Les situations connues jusqu'ici (cf [2], 3.3 et 4.6) suggèrent de définir les deux types de singularité suivants. Soit X_v une composante irréductible du lieu singulier de X_w ; on dira qu'elle est de type S_1 s'il existe des entiers s et t ($s, t \geq 2$) tels que la transversale $\mathcal{N}_{v,w}$ soit isomorphe à la variété $\mathcal{C}_{s,t}$ des matrices de taille (s, t) et de rang au plus 1, et l'on dira qu'elle est de type S_2 si la transversale $\mathcal{N}_{v,w}$ est isomorphe à un cône quadratique non dégénéré de dimension au moins 5. Remarquons que dans le premier cas, la transversale n'est pas factorielle, alors qu'elle l'est dans le second.

3.2 Corectrices d'une permutation

On dispose de plusieurs caractérisations de l'ordre de Bruhat-Chevalley sur le groupe symétrique, décrites par exemple dans [10], 2.1.2. A. Lascoux et M.P. Schützenberger ont introduit une nouvelle approche, en définissant les rectrices d'une permutation (cf [9]). Ici, il est plus commode d'envisager une notion duale, et nous parlerons des corectrices d'une permutation.

On appelle cograssmanniennes les permutations n'ayant qu'une montée, et cobigrassmanniennes les permutations cograssmanniennes dont l'inverse est aussi cograssmannienne. Une cobigrassmannienne c est de la forme :

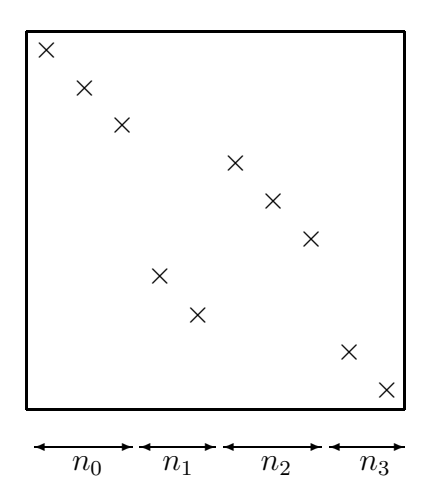
```
c(i) = n + 1 - i pour 1 \le i \le n_0,

c(i) = n + 1 - n_2 - i pour n_0 + 1 \le i \le n_0 + n_1,

c(i) = n + 1 + n_1 - i pour n_0 + n_1 + 1 \le i \le n_0 + n_1 + n_2,

c(i) = n + 1 - i pour n_0 + n_1 + n_2 + 1 \le i \le n
```

(on coupe $(n, n-1, \ldots, 1)$ en quatre blocs et on permute les deux blocs médians). Une cobigrassmannienne est ainsi déterminée par le quadruplet d'entiers (n_0, n_1, n_2, n_3) (où $n_3 = n - n_0 - n_1 - n_2$), avec $n_0, n_3 \in \mathbb{N}$ et $n_1, n_2 \in \mathbb{N}^*$. En termes de graphe, les cobigrassmanniennes sont de la forme suivante :



On dispose alors d'un critère simple pour comparer une permutation arbitraire et une cobigrassmannienne : pour $w \in \mathfrak{S}_n$ et c la cobigrassmannienne définie par le quadruplet (n_0, n_1, n_2, n_3) , on a $w \leq c$ si et seulement si l'ensemble $w([1, n_0 + n_1]) \cap [1, n_1 + n_3]$ contient au moins n_1 éléments.

Les cobigrassmanniennes permettent de décrire l'ordre de Bruhat-Chevalley de la façon suivante : notant \mathcal{C} l'ensemble des cobigrassmanniennes,

on considère l'ensemble des parties de \mathcal{C} muni de l'ordre inverse de l'inclusion, c'est-à-dire $A \leq B$ si $A \supseteq B$. Alors l'application $\mathfrak{S}_n \longrightarrow 2^{\mathcal{C}}$

$$w \mapsto \{c \in \mathcal{C} \mid w \le c\}$$

induit un isomorphisme d'ensembles ordonnés de \mathfrak{S}_n sur son image. Etant donné une permutation w de \mathfrak{S}_n , les éléments minimaux de $\{c \in \mathcal{C} \mid w \leq c\}$ sont appelés corectrices de w; d'après ce qui précède, leur donnée détermine entièrement w.

Pour les décrire explicitement, introduisons l'ensemble coessentiel de w, dual de l'ensemble essentiel défini par Fulton (cf [4]) :

$$Coess(w) = \left\{ (p,q) \in [1,n]^2 \,\middle|\, \begin{array}{l} w(p-1) \le q < w(p) \\ w^{-1}(q) \le p-1 < w^{-1}(q+1) \end{array} \right\}.$$

Cet ensemble paramètre les corectrices de w. La corectrice associée au point coessentiel (p,q) de w, notée $c_{p,q}$, est donnée par son quadruplet (n_0,n_1,n_2,n_3) comme suit :

$$n_{0} = \#\{i q\}$$
 $n_{1} = \#\{i
 $n_{2} = \#\{i \geq p \mid w(i) > q\}$
 $n_{3} = \#\{i \geq p \mid w(i) \leq q\}$
 $x \in \mathbb{R}$
 $x \in \mathbb{R}$$

Définition 3.1. Soit c une cobigrassmannienne de quadruplet (n_0, n_1, n_2, n_3) . On dit que c est itérable si on a $n_0, n_3 \ge 1$, et on définit alors l'itérée c^1 de c par son quadruplet $(n_0 - 1, n_1 + 1, n_2 + 1, n_3 - 1)$. Elle vérifie l'inégalité $c^1 \le c$.

4 Configurations I

Dans cette section, nous généralisons la construction de [3], pour définir des permutations $\tau \leq w$ associées à la donnée d'un point coessentiel bien

bordé (comme défini dans [3]) et d'un "bordage minimal". Il y a alors deux possibilités : la variété X_{τ} est une composante irréductible du lieu singulier, avec une singularité générique de type S_1 , ou e_{τ} est un point lisse de X_w . On énonce un critère simple pour distinguer ces situations.

4.1 Permutations associées aux configurations I

Il est utile de revenir sur la définition des quadrants associés à un point (p,q) du carré $[1,n]^2$ donnée dans [3], pour obtenir une notion plus satisfaisante dans le cas général. On définit :

$$NO(p,q) = \{(i,j) \mid i \le p, j > q\}$$
 $SO(p,q) = \{(i,j) \mid i \le p, j \le q\}$ $PO(p,q)$ $NE(p,q)$ $SE(p,q) = \{(i,j) \mid i > p, j > q\}$ $SE(p,q) = \{(i,j) \mid i > p, j \le q\}$ P

Il est à noter que si (p+1,q) est un point coessentiel de w, on obtient la même partition du graphe de w que celle décrite dans [3].

On fixe un point coessentiel bien bordé P=(p+1,q) de w, c'est-à-dire tel que le graphe de w rencontre les quadrants NO(p,q) et SE(p,q), que l'on note désormais simplement NO et SE.

Définition 4.1. On appelle bordage minimal de P tout couple de points $(P_-, P_+) \in NO \times SE$ tels que, si R est le rectangle dont la diagonale est le segment ouvert $]P_-, P_+[, R \cap NO \text{ et } R \cap SE \text{ ne contiennent aucun point du graphe de } w.$

On fixe un bordage minimal (P_-, P_+) de P. Notons $(x_{-\infty}, y_{\infty})$ les coordonnées de P_- , et $(x_{\infty}, y_{-\infty})$ celles de P_+ . Si l'ensemble $\Gamma_w \cap R \cap NE$ est non vide, sa frontière Sud-Ouest constitue la suite NE associée au triplet (P, P_-, P_+) . Soient s la longueur de cette suite $(s = 0 \text{ si } \Gamma_w \cap R \cap NE = \emptyset)$, et $(x_i, y_i)_{1 \le i \le s}$ les coordonnées des points, indexés de sorte que $x_s < \cdots < x_1$.

De manière symétrique, si l'ensemble $\Gamma_w \cap R \cap SO$ est non vide, sa frontière Nord-Est constitue la suite SO associée à (P, P_-, P_+) . Soient t la longueur de cette suite et $(x_i, y_i)_{-t \le i \le -1}$ les coordonnées des points, indexés de sorte que $x_{-1} < \cdots < x_{-t}$.

On notera $\mathcal{X} = \mathcal{X}_+ \cup \mathcal{X}_-$ (resp. $\mathcal{Y} = \mathcal{Y}_+ \cup \mathcal{Y}_-$) l'ensemble des abscisses (resp. ordonnées) ainsi distinguées, où

$$\mathcal{X}_{+} = \{x_{i} \mid i \in [1, s] \cup \{\infty\}\}, \quad \mathcal{Y}_{+} = \{y_{i} \mid i \in [1, s] \cup \{\infty\}\}, \\ \mathcal{X}_{-} = \{x_{i} \mid i \in [-t, -1] \cup \{-\infty\}\}, \quad \mathcal{Y}_{-} = \{y_{i} \mid i \in [-t, -1] \cup \{-\infty\}\}.$$

On définit alors la permutation $\tau_{(P,P_-,P_+)}$ associée au triplet (P,P_-,P_+) par :

$$\tau_{(P,P_{-},P_{+})} = (y_{-1},y_{1}) [(y_{-1},y_{-2})\cdots(y_{-t},y_{-\infty})] [(y_{1},y_{2})\cdots(y_{s},y_{\infty})] w,$$

où, si s=0 (resp. t=0) on omet le produit entre crochets correspondant et l'on remplace y_1 par y_{∞} (resp. y_{-1} par $y_{-\infty}$). On la notera simplement τ lorsqu'il n'y aura pas d'ambiguité.

On démontre comme dans [3], lemme 3.5, le

Lemme 4.2. (a)
$$\tau \leq w$$
, (b) $\ell(\tau) = \ell(w) - (s + t + 1)$.

Notons c la corectrice de w associée au point coessentiel P. Elle est itérable, et on a le résultat suivant.

Proposition 4.3. Les variétés $X_{\tau_{(P,P_-,P_+)}}$ pour (P_-,P_+) bordage minimal du point coessentiel P, sont exactement les composantes irréductibles de la variété $X_w \cap X_{c^1}$.

4.2 Des composantes irréductibles du lieu singulier de type S_1

Pour la description de la transversale, définissons encore

$$C_{\mathcal{Y}_{+},\mathcal{X}_{-}} = \left\{ u = (u_{ij}) \in G \middle| \begin{array}{l} u_{\tau(j)j} = 1 \text{ pour tout } j, \\ u_{ij} = 0 \text{ si } i \notin \mathcal{Y}_{+} \text{ ou } j \notin \mathcal{X}_{-}, \\ \operatorname{rg} (u_{ij})_{\substack{i \in \mathcal{Y}_{+} \\ j \in \mathcal{X}_{-}}} \leq 1 \end{array} \right\}.$$

Le tore T agit sur $\mathcal{C}_{\mathcal{Y}_+,\mathcal{X}_-}$ par : $t \cdot u = t \, u \, (\overline{\tau}^{-1} \, t^{-1} \, \overline{\tau})$, où $\overline{\tau}$ désigne la matrice de la permutation τ , c'est-à-dire la matrice dont les coefficients sont les

 $\delta_{i\tau(j)}$. La projection de \mathcal{M}_n (ensemble des matrices carrées d'ordre n à coefficients dans \mathbb{K}) sur $\mathcal{M}_{s+1,t+1}$ (ensemble des matrices de taille (s+1,t+1) à coefficients dans \mathbb{K}) obtenue par omission des lignes (resp. colonnes) d'indice n'appartentant pas à \mathcal{Y}_+ (resp. \mathcal{X}_-) induit un isomorphisme T- équivariant de $\mathcal{C}_{\mathcal{Y}_+,\mathcal{X}_-}$ sur $\mathcal{C}_{s+1,t+1}$.

On obtient alors le

Théorème 4.4. (a) L'application $u \mapsto u\mathbb{K}^{\bullet}$ induit un isomorphisme T-équivariant de $\mathcal{C}_{\mathcal{Y}_{+},\mathcal{X}_{-}}$ dans $\mathcal{N}_{\tau,w}$.

(b) Par conséquent, si st = 0, e_{τ} est un point lisse de X_w , et si $st \neq 0$, X_{τ} est une composante irréductible du lieu singulier, de type S_1 .

On note \mathcal{T}_w l'ensemble des triplets (P, P_-, P_+) , où P est un point coessentiel bien bordé de w et (P_-, P_+) un bordage minimal de P. L'application qui à un tel triplet associe la permutation $\tau_{(P,P_-,P_+)}$ n'est en général pas injective; ces permutations sont paramétrées par les classes d'équivalence de \mathcal{T}_w pour la relation suivante : $(P, P_-, P_+) \sim (Q, Q_-, Q_+)$ si l'on a $P_- = P_+, Q_- = Q_+$, et si les quadrants associés aux points coessentiels P et Q définissent la même partition de $\Gamma_w \cap R$, où R est défini comme en 4.1.

On aura aussi recours par la suite à une autre paramétrisation, donnée par les "configurations I" de w.

Définition 4.5. • On appelle configuration I de w un ensemble de points du graphe de w, $\mathcal{I} = \{(x_{-\infty}, y_{\infty}), (x_{\infty}, y_{-\infty})\} \cup \{(x_i, y_i), i \in [-t, -1] \cup [1, s]\}$, avec $s, t \geq 0$, vérifiant les inégalités

$$x_{-\infty} < x_{-1} < \dots < x_{-t} < x_s < \dots < x_1 < x_{\infty},$$

 $y_{-\infty} < y_{-t} < \dots < y_{-1} < y_1 < \dots < y_s < y_{\infty},$

et tels que, notant R le rectangle ouvert délimité par les points $(x_{-\infty}, y_{\infty})$ et $(x_{\infty}, y_{-\infty})$, on ait :

$$\Gamma_w \cap R \subseteq \bigcup_{i=1}^t SO(x_{-i}, y_{-i}) \cup \bigcup_{i=1}^s NE(x_i - 1, y_i - 1).$$

- Si st = 0, on dit que la configuration est dégénérée.
- Si \mathcal{I} est une configuration I de w, on lui associe le cycle

$$\gamma(\mathcal{I}) = (y_{\infty}, y_{-1}, \dots, y_{-t}, y_{-\infty}, y_1, \dots, y_s).$$

L'ensemble des configurations I de w est en bijection avec le quotient de \mathcal{T}_w par la relation d'équivalence \sim , et si \mathcal{I} est une configuration I de w, et (P, P_-, P_+) un représentant de la classe qui lui correspond, on a $\tau_{(P, P_-, P_+)} = \gamma(z) w$, et l'on notera parfois $\tau(z)$ cette permutation.

5 Configurations II

Dans le cas des variétés covexillaires, on peut montrer, en utilisant certaines résolutions, que la construction de la section précédente fournit tout le lieu singulier (voir [3]). Dans le cas général, il existe d'autres types de composantes, que nous allons construire ici.

Définition 5.1. • Une configuration 3412 de w est la donnée de quatre points du graphe, d'abscisses a < b < c < d, tels que w(c) < w(d) < w(a) < w(b). Par abus de langage, on assimilera cette donnée à celle des abscisses.

• Une configuration 3412, d'abscisses a < b < c < d, est dite incompressible s'il n'existe pas d'autre configuration 3412 d'abscisses x < y < c < d telle que (x, w(x)) (resp. (y, w(y))) soit au Sud-Est de (a, w(a)) (resp. (b, w(b))), ni, de manière symétrique, d'autre configuration 3412 d'abscisses a < b < x < y telle que (x, w(x)) (resp. (y, w(y))) soit au Nord-Ouest de (c, w(c)) (resp. (d, w(d))).

Soit maintenant a < b < c < d une configuration 3412 incompressible. Alors, dans le carré $[1,n]^2$, les régions $(]a,b[\cup]c,d[) \times]w(d),w(a)[$ et $]b,c[\times(]w(c),w(d)[\cup]w(a),w(b)[)$ ne contiennent aucun point du graphe de w. De plus, si le rectangle $]b,c[\times]w(d),w(a)[$ contient des points du graphe de w, notés $(\gamma_i,\delta_i)_{1\leq i\leq r}$, avec $\gamma_1<\cdots<\gamma_r$, alors on a $\delta_1>\cdots>\delta_r$.

On considère maintenant l'ensemble $NE_{II} = \Gamma_w \cap]c, d[\times]w(a), w(b)[$. S'il n'est pas vide, sa frontière Sud-Ouest constitue la suite NE associée à la configuration a < b < c < d. Soient s la longueur de cette suite, et $(\alpha_i, \beta_i)_{1 \le i \le s}$ ses points, indexés de sorte que l'on ait les inégalités $c < \alpha_s < \cdots < \alpha_1 < d$ et $w(a) < \beta_1 < \cdots < \beta_s < w(b)$.

De manière symétrique, on considère $SO_{II} = \Gamma_w \cap]a, b[\times]w(c), w(d)[$. S'il est non vide, sa frontière Nord-Est constitue la suite SO associée à la configuration a < b < c < d. Soient t la longueur de cette suite et $(\alpha_i, \beta_i)_{-t \le i \le -1}$ ses points, indexés de sorte que l'on ait les inégalités $a < \alpha_{-1} < \cdots < \alpha_{-t} < b$ et $w(c) < \beta_{-t} < \cdots < \beta_{-1} < w(d)$.

Définition 5.2. • On appelle configuration II de w la donnée d'une configuration 3412 et des trois suites de points associées comme ci-dessus.

• On notera

$$\mathcal{C} = \{ \gamma_i \mid i \in [1, r] \}, \quad \mathcal{D} = \{ \delta_i \mid i \in [1, r] \}, \\ \mathcal{A}_+ = \{ \alpha_i \mid i \in [1, s] \}, \quad \mathcal{B}_+ = \{ \beta_i \mid i \in [1, s] \}, \\ \mathcal{A}_- = \{ \alpha_i \mid i \in [-t, -1] \}, \quad \mathcal{B}_- = \{ \beta_i \mid i \in [-t, -1] \}.$$

On définit alors la permutation σ par

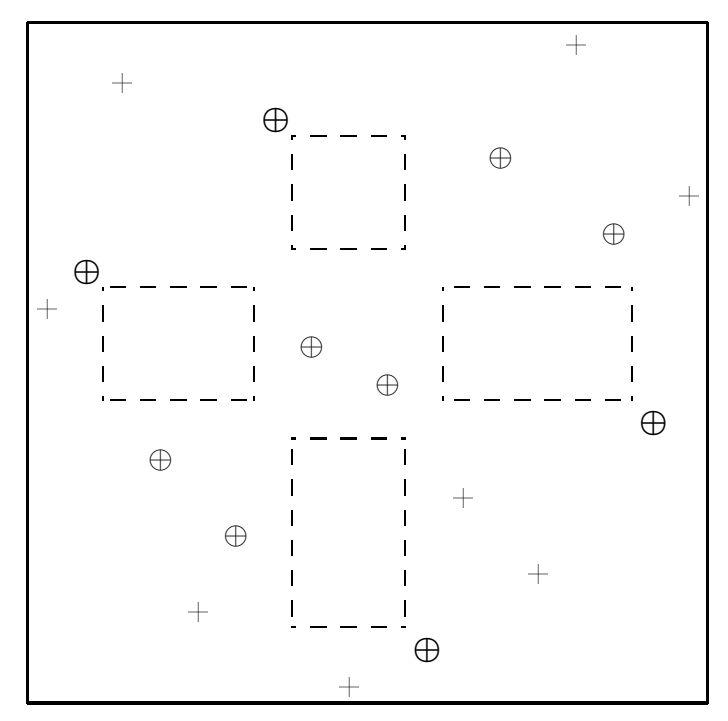
$$\sigma = \left[\left(w(d), \beta_1 \right) \left(\beta_1, \beta_2 \right) \cdots \left(\beta_{s-1}, \beta_s \right) \left(\beta_s, w(b) \right) \right]$$
$$\left[\left(w(a), \beta_{-1} \right) \left(\beta_{-1}, \beta_{-2} \right) \cdots \left(\beta_{-t+1}, \beta_{-t} \right) \left(\beta_{-t}, w(c) \right) \right] \left(w(c), w(b) \right) w,$$

les deux premiers crochets étant réduits à (w(d), w(b)), resp. (w(a), w(c)), si NE_{II} , resp. SO_{II} , est vide.

Exemple 5.3. On considère la permutation

$$w = (11, 12, 17, 7, 3, 5, 16, 10, 1, 9, 2, 6, 15, 4, 18, 13, 8, 14) \in \mathcal{S}_{18},$$

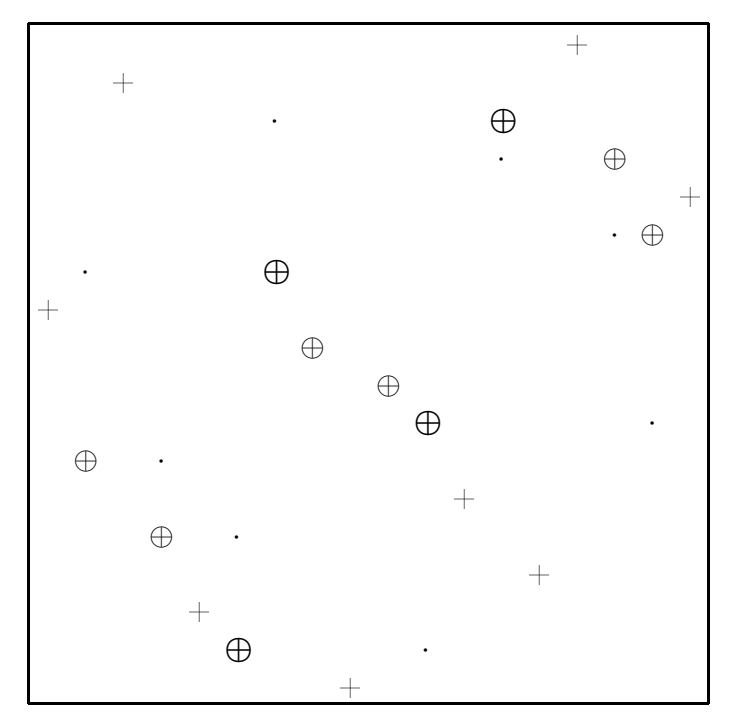
et la configuration 3412 incompressible donnée par les points d'abscisses 2, 7, 11, 17. Sur le diagramme suivant, on a représenté par des \oplus les quatre points de la configuration, par des \oplus les points des trois suites décrites ci-dessus, et par des + les autres points du graphe de w.



La permutation σ est alors

$$\sigma = (11, 7, 17, 5, 3, 2, 12, 10, 1, 9, 8, 6, 16, 4, 18, 15, 13, 14).$$

Sur le diagramme suivant, on a représenté par des \oplus les points du graphe de σ dont les ordonnées sont dans $\{w(c), w(d), w(a), w(b)\}$, par des \oplus ceux dont les ordonnées sont dans $\mathcal{B}_- \cup \mathcal{D} \cup \mathcal{B}_+$, et par des + les autres points du graphe de σ . On a représenté par des \cdot les points du graphe de w dont les abscisses sont dans $\{a, b, c, d\} \cup \mathcal{A}_- \cup \mathcal{A}_+$.



Le résultat suivant est une extension du lemme 3.5 de [3].

Lemme 5.4. (a)
$$\sigma \le w$$
, (b) $\ell(\sigma) = \ell(w) - (2r + s + t + 3)$.

En vue de la description de la transversale $\mathcal{N}_{\sigma,w}$, il est utile d'introduire la variété suivante : étant donné trois entiers i,j,k avec $i,k \geq 1$ et $j \geq 2$, on définit

$$\mathcal{N}_{i,j,k} = \{(M,N) \in \mathcal{C}_{j,k} \times \mathcal{C}_{i,j} \mid NM = 0\}.$$

Proposition 5.5. $\mathcal{N}_{i,j,k}$ est une variété irréductible de dimension 2j + i + k - 3. Elle est singulière au point (0,0).

(a) Cette singularité est isolée si et seulement si j=2 ou i=k=1, et l'on

- $a: \bullet \mathcal{N}_{i,2,k}$ est isomorphe à $\mathcal{C}_{i+k,2}$,
 - $\mathcal{N}_{1,i,1}$ est un cône quadratique non dégénéré de dimension 2j-1.
- (b) Si i > 1, j > 2, et k = 1 (resp. i = 1, j > 2, et k > 1) alors Sing $\mathcal{N}_{i,j,1} = \mathcal{C}_{j,1} \times \{0\}$ (resp. Sing $\mathcal{N}_{1,j,k} = \{0\} \times \mathcal{C}_{1,j}$).
- (c) Si i, k > 1 et j > 2, Sing $\mathcal{N}_{i,j,k}$ a deux composantes irréductibles, $\mathcal{C}_{j,k} \times \{0\}$ et $\{0\} \times \mathcal{C}_{i,j}$.

On passe maintenant à la description de la transversale $\mathcal{N}_{\sigma,w}$; ceci nécessite encore quelques notations. On définit

$$\overline{\mathcal{A}_{-}} = \mathcal{A}_{-} \cup \{a\}, \quad \overline{\mathcal{B}_{+}} = \mathcal{B}_{+} \cup \{w(b)\},$$
$$\overline{\mathcal{C}} = \mathcal{C} \cup \{b, c\}, \quad \overline{\mathcal{D}} = \mathcal{D} \cup \{w(a), w(d)\},$$

et l'on désigne par \mathcal{M}_{σ} l'ensemble des $u \in G$ tels que :

- $u_{\sigma(j)j} = 1$ pour tout j,
- $u_{ij} = 0$ si $i \neq \sigma(j)$ et $(i,j) \notin \overline{\mathcal{D}} \times \overline{\mathcal{A}} \cup \overline{\mathcal{B}}_+ \times \overline{\mathcal{C}}$,
- $(M, \overline{N}) \in \mathcal{N}_{s+1,r+2,t+1}$, où M et N sont les matrices extraites de u définies par $M = (u_{ij})_{(i,j) \in \overline{\mathcal{D}} \times \overline{\mathcal{A}_-}}$ et $N = (u_{ij})_{(i,j) \in \overline{\mathcal{B}_+} \times \overline{\mathcal{C}}}$, et \overline{N} est la matrice obtenue en lisant N de droite à gauche.

On fait agir le tore T sur \mathcal{M}_{σ} par $t \cdot u = t \, u(\overline{\sigma}^{-1} \, t^{-1} \, \overline{\sigma})$.

Théorème 5.6. L'application $u \mapsto u\mathbb{K}^{\bullet}$ induit un isomorphisme T-équivariant de \mathcal{M}_{σ} dans $\mathcal{N}_{\sigma,w}$.

Corollaire 5.7. (a) e_{σ} est un point singulier de X_w .

- (b) Si r = 0, X_{σ} est une composante irréductible de type S_1 de Sing X_w .
- (c) Si $r \neq 0$ et s = t = 0, X_{σ} est une composante irréductible de type S_2 de Sing X_w .
- (d) Si $rt \neq 0$ et s = 0 (resp. $rs \neq 0$ et t = 0) alors X_{σ} est contenu dans exactement une composante irréductible de Sing X_w , qui est associée à une configuration I de w, et qui est de codimension r+t+1 (resp. r+s+1) dans X_w .
- (e) Si $rst \neq 0$, alors X_{σ} est contenu dans exactement deux composantes irréductibles de Sing X_w , qui correspondent à des configurations I de w, et qui sont respectivement de codimension r+t+1 et r+s+1 dans X_w .

Remarque 5.8. Soit \mathcal{I} une configuration I dégénérée de w. D'après le théorème 4.4, le point $e_{\tau(\mathcal{I})}$ est lisse dans X_w . On peut voir qu'il existe une configuration 3412 incompressible $\mathcal{I}\mathcal{I}$ telle que la permutation associée $\sigma(\mathcal{I}\mathcal{I})$ corresponde à une composante irréductible de Sing X_w , et vérifie $\tau(\mathcal{I}) \geq \sigma(\mathcal{I}\mathcal{I})$.

6 Quasi-résolutions des variétés de Schubert

Notons Σ_w la réunion des composantes irréductibles du lieu singulier de X_w exhibées jusqu'ici. Le but de cette section est de montrer que Σ_w est exactement le lieu singulier de X_w . Ce résultat est déjà établi dans le cas covexillaire, et l'on va s'appuyer sur ce cas pour établir l'égalité en général, en construisant des "quasi-résolutions" de la variété de Schubert non covexillaire X_w , du type $P_I \times^{P_J} X_{w'}$, pour des sous-groupes paraboliques P_I et P_J , et des permutations w' bien choisis.

Définition 6.1. Soit \mathcal{II} une configuration 3412 de w, correspondant aux abscisses a < b < c < d. Notons $\alpha = w(a), \beta = w(b), \gamma = w(c), \delta = w(d)$.

- On dit que $\mathcal{I}\mathcal{I}$ est bien remplie si $w^{-1}(]\delta, \alpha[) \subseteq]b, c[.$
- On définit la hauteur de II par $ht(II) = \beta \gamma$.

On remarque que si w n'est pas covexillaire, elle a des configurations 3412 bien remplies : toute configuration 3412 a < b < c < d telle que $\alpha - \delta$ soit minimal est bien remplie.

Fixons \mathcal{II} une configuration 3412 bien remplie et de hauteur minimale (parmi les configurations bien remplies). On voit aisément que \mathcal{II} est incompressible.

On considère

$$\alpha' = \max\{q \ge \alpha \mid \forall q' \in [\alpha, q[, \ w^{-1}(q'+1) < w^{-1}(q')\} \}$$

$$\delta' = \min\{q \le \delta \mid \forall q' \in [q, \delta], \ w^{-1}(q'-1) > w^{-1}(q')\}.$$

Soit $I = \{s_{\delta'}, \ldots, s_{\alpha'-1}\}$, et pour $i = 1, \ldots, \alpha - \delta$, soient $r_i = \delta' + \alpha' - \alpha + i - 1$ et $J_i = I \setminus \{s_{r_i}\}$. Notant w_I et w_{J_i} les permutations maximales des sous-groupes paraboliques de \mathfrak{S}_n correspondant aux ensembles de réflexions simples I et J_i , on définit $w_i = w_{J_i}w_Iw$. Comme w est maximal dans $W_{I}w$, w_i est maximal dans $W_{J_i}w_i$.

On définit enfin

$$Z_i = P_I \times^{P_{J_i}} X_{w_i}.$$

L'application naturelle de Z_i dans G/B a pour image X_w , et la projection induite $\pi_i: Z_i \longrightarrow X_w$ est birationnelle; néanmoins, la variété Z_i n'est en général pas lisse, on l'appelle donc quasi-résolution de X_w .

L'un des points cruciaux de la démonstration tient dans la

Proposition 6.2. Soit $i \in [1, \alpha - \delta]$; les composantes irréductibles du lieu exceptionnel de π_i sont en bijection avec la réunion des trois ensembles suivants :

• la frontière Sud-Est de

$$NO(i) = \Gamma_w \cap \{(p,q) \mid p < w^{-1}(\alpha - i + 1), q > \alpha'\},\$$

• la frontière Nord-Ouest de

$$SE(i) = \Gamma_w \cap \{(p,q) \mid p > w^{-1}(\alpha - i), \ q < \delta'\},$$

• l'ensemble des configurations 3412 incompressibles de la forme

$$w^{-1}(\alpha - i + 1) < w^{-1}(\beta') < w^{-1}(\gamma') < w^{-1}(\alpha - i).$$

De façon explicite, étant donné (b', β') un point de la frontière Sud-Est de NO(i), soit $\tilde{\alpha}$ le plus grand entier de l'intervalle $[\alpha - i + 1, \alpha]$ tel que $b' < w^{-1}(\tilde{\alpha})$. Si l'ensemble $\Gamma_w \cap \{(p,q) \mid w^{-1}(\alpha-i+1) est non vide, on note <math>x_1 < \cdots < x_k$ les abscisses des points de sa frontière Sud-Ouest. Alors les points d'abscisses $b' < w^{-1}(\tilde{\alpha}) < \cdots < w^{-1}(\alpha-i+1) < x_1 < \cdots < x_k < w^{-1}(\alpha-i)$ forment une configuration I de w (éventuellement dégénérée), notée \mathcal{I} , et la composante irréductible du lieu exceptionnel de π_i associée au point (b', β') est la permutation $\tau(z)$.

Les composantes associées aux points de la frontière Nord-Ouest de SE(i) sont décrites de la même manière.

Enfin, si $w^{-1}(\alpha - i + 1) < w^{-1}(\beta') < w^{-1}(\gamma') < w^{-1}(\alpha - i)$ est une configuration 3412 incompressible de w, notée \mathcal{II} , la composante irréductible du lieu exceptionnel de π_i associée est simplement la permutation $\sigma(\mathcal{II})$.

Utilisant cette description des lieux exceptionnels des quasi-résolutions, on peut établir les deux propositions qui suivent.

Proposition 6.3. L'intersection des lieux exceptionnels des π_i , pour i parcourant l'intervalle $[1, \alpha - \delta]$, est contenue dans Σ_w .

Proposition 6.4. Pour toute configuration C de w_i , de type I ou II, paramétrant la composante irréductible X_y du lieu singulier de X_{w_i} , on a:

- ou bien $P_I \times^{P_{J_i}} X_y \subseteq \pi_i^{-1}(Ex(\pi_i)),$
- ou bien $w_I w_{J_i} \mathcal{C}$ est une configuration du même type de w, et $\pi_i(P_I \times^{P_{J_i}} X_y) = X_{w_I w_{J_i} y}$ est la composante irréductible du lieu singulier de X_w associée.

Finalement, on procède par récurrence sur la dimension, en combinant le cas covexillaire traité dans [3] et les propositions 6.3 et 6.4, pour démontrer le

Théorème 6.5. Le lieu singulier de X_w est la réunion des composantes décrites dans les sections 4 et 5. En particulier, les singularités génériques sont de l'un des deux types S_1 ou S_2 décrits précédemment, c'est-à-dire soit un cône de matrices de rang au plus 1, soit un cône quadratique non dégénéré de dimension d impaire, avec $d \geq 5$.

Références

- [1] S. Billey, G. Warrington, Maximal singular loci of Schubert varieties in SL(n)/B, math.AG/0102168.
- [2] M. Brion, P. Polo, Generic singularities of certain Schubert varieties, Math. Z. 231 (1999), 301-324.
- [3] A. Cortez, Singularités génériques des variétés de Schubert covexillaires, Ann. Inst. Fourier (Grenoble) **51** 2 (2001), 375-393.
- [4] W. Fulton, Flags, Schubert polynomials, degeneracy loci, and determinantal formulas, Duke Math. J. 65 (1992), 381-420.
- [5] C. Kassel, A. Lascoux, C. Reutenauer, The singular locus of a Schubert variety, preprint, IRMA n°2001-004.
- [6] D. Kazhdan, G. Lusztig, Representations of Coxeter groups and Hecke algebras, Inv. Math. 53 (1979), 165-184.
- [7] V. Lakshmibai, B. Sandhya, Criterion for smoothness of Schubert varieties in SL(n)/B, Proc. Indian Acad. Sci. **100** (1990), 45-52.
- [8] V. Lakshmibai, C. S. Seshadri, Singular locus of a Schubert variety, Bull. Amer. Math. Soc. 11 (1984), 363-366.
- [9] A. Lascoux, M.P. Schützenberger, Treillis et bases des groupes de Coxeter, Electron. J. Combin. 3 (1996).
- [10] L. Manivel, Fonctions symétriques, polynômes de Schubert et lieux de dégénérescence, Cours spécialisés 3, Société Mathématique de France, Paris, 1998.
- [11] L. Manivel, Le lieu singulier des variétés de Schubert, math.AG/0102124.
- [12] L. Manivel, Generic singularities of Schubert varieties, math.AG/0105239.

Aurélie Cortez Equipe d'Analyse Algébrique - Case 82 Institut de Mathématiques Université Pierre et Marie Curie 4, place Jussieu 75252 Paris CEDEX 05 France

e-mail: cortez@math.jussieu.fr